

Н. Л. Великанов, В. А. Наумов, С. И. Корягин

**РАВНОВЕСИЕ ОДНОРОДНОГО СТЕРЖНЯ
В ФОРМЕ ДУГИ ЭЛЛИПСА В ПОТОКЕ ВОДЫ**

Предложен метод расчета, который позволяет определить условия равновесия дуги в форме части эллипса, обтекаемой однородным потоком жидкости.

Calculation method to determine the equilibrium conditions of the arc in the form of the ellipse, then streamlined homogeneous liquid

Ключевые слова: коэффициент гидродинамического сопротивления, численный метод, однородный стержень.

Key words: drag coefficient, numerical method, uniform rod.

В инженерных расчетах по аэродинамике летательных аппаратов, гидродинамике кораблей и судов, проектированию орудий рыболовства и других отраслей требуется определять условия равновесия различных элементов конструкции в потоке вязкой жидкости [1–4]. В работе [5] исследованы условия равновесия в воде однородного стержня, в том числе в виде дуги окружности. В данной статье предложен численный метод расчета равновесия в воде однородного стержня в виде дуги эллипса.

Однородный стержень плотностью ρ_s в форме четверти эллипса (полуоси a , b) находится в потоке воды в положении, показанном на рисунке 1. Плотность воды ρ_f , скорость потока U .

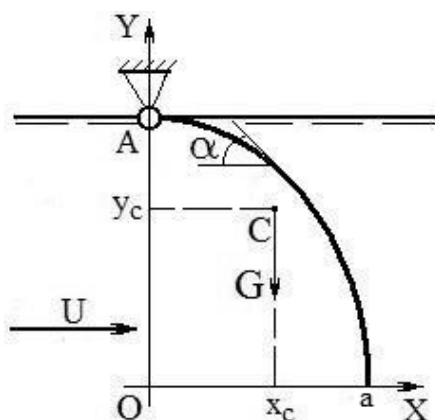


Рис. 1. Однородный стержень плотностью ρ_s в форме четверти эллипса



Уравнение эллипса в размерной и безразмерной форме:

$$\frac{X^2}{a^2} + \frac{Y^2}{b^2} = 1, \quad x^2 + \frac{y^2}{k^2} = 1, \quad x = \frac{X}{a}, \quad y = \frac{Y}{b}, \quad k = \frac{b}{a}.$$

Выразим функцию $y(x)$, ее производную и дифференциал:

$$y = k\sqrt{1-x^2}, \quad y' = -\frac{kx}{\sqrt{1-x^2}}, \quad dy = y'dx = -\frac{kx}{\sqrt{1-x^2}} dx.$$

Угол атаки α является функцией аргумента x и зависит от величины отношения полуосей эллипса k (рис. 2):

$$\alpha(k, x) = \operatorname{arctg} \frac{kx}{\sqrt{1-x^2}}.$$

Дифференциал дуги эллипса (безразмерный)

$$d\sigma = \sqrt{(dx)^2 + (dy)^2} = \sqrt{\frac{(k^2-1)x^2+1}{1-x^2}} dx. \quad (1)$$

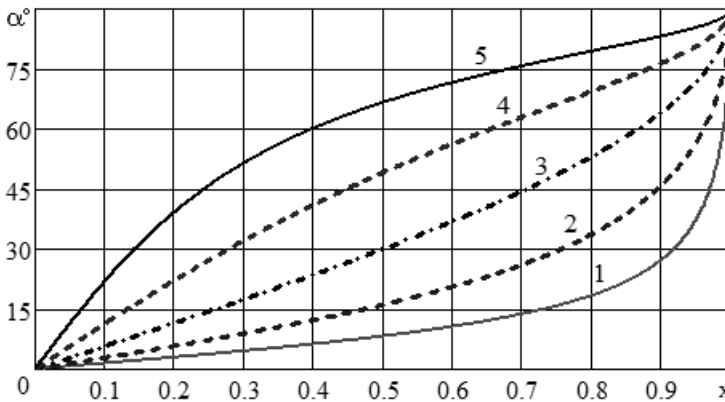


Рис. 2. Зависимость локального угла атаки α от аргумента x при различных значениях параметра k :

1 – $k = 0,25$; 2 – $k = 0,5$; 3 – $k = 1$; 4 – $k = 2$; 5 – $k = 4$

Длину стержня (безразмерную, отнесенную к a , можно найти с помощью криволинейного интеграла (по дуге)

$$L(k) = \int_L d\sigma = \int_0^1 \sqrt{\frac{(k^2-1)x^2+1}{1-x^2}} dx. \quad (2)$$

Средний по длине дуги угол атаки

$$\alpha_{\varphi}(k) = \frac{1}{L(k)} \int_L \alpha(k, x) d\sigma = \frac{1}{L(k)} \int_0^1 \alpha(k, x) \sqrt{\frac{(k^2-1)x^2+1}{1-x^2}} dx. \quad (3)$$



Заметим, что (2), (3) и последующие выражения не интегрируются в квадратурах (в общем случае не существует первообразной, выраженной через элементарные функции). Определенные интегралы будем находить численным методом в среде Mathcad (рис. 3).

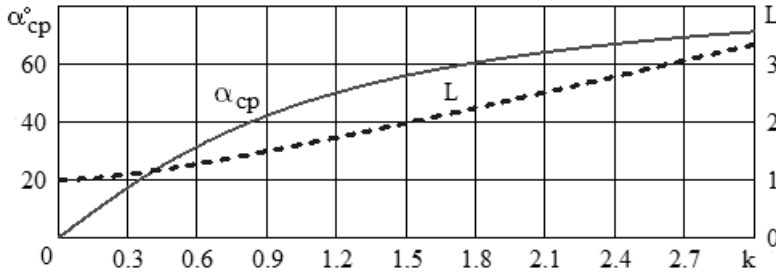


Рис. 3. Зависимость среднего по длине дуги угла атаки и безразмерной длины дуги L от значений параметра k

С учетом (1) координаты центра тяжести определяются с помощью интегралов по длине дуги (рис. 4):

$$x_c(k) = \frac{1}{L(k)} \int_L x d\sigma = \frac{1}{L(k)} \int_0^1 \sqrt{\frac{(k^2-1)x^2+1}{1-x^2}} x dx, \quad (4)$$

$$y_c(k) = \frac{1}{L(k)} \int_L y d\sigma = \frac{k}{L(k)} \int_0^1 \sqrt{(k^2-1)x^2+1} dx.$$

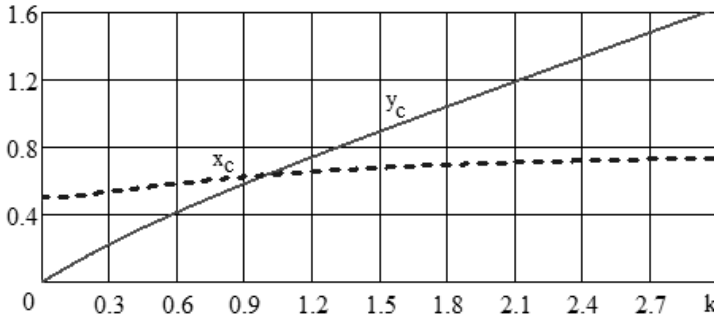


Рис. 4. Зависимость безразмерных координат центра тяжести от параметра k

Полагаем, что при больших числах Рейнольдса коэффициенты гидродинамического сопротивления длинного цилиндра при поперечном и продольном обтекании можно принять равными [4; 5]

$$C_{90} = 1,2, C_0 = 0,04.$$

Локальные коэффициенты сил лобового сопротивления и подъемной криволинейного стержня при произвольном угле атаки будут такими же, как у прямолинейного цилиндра (рис. 5):

$$C_x = C_0 + (C_{90} - C_0) \sin^n \alpha, \quad C_y = C_{90} \sin^2 \alpha \cos \alpha.$$

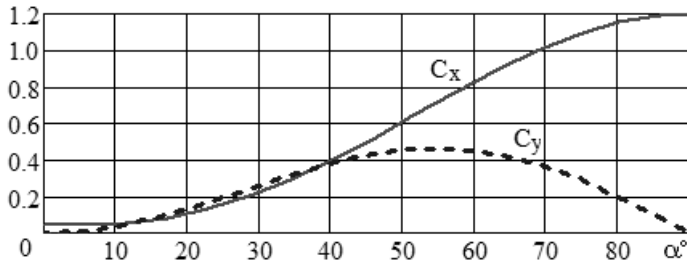


Рис. 5. Зависимость локальных коэффициентов гидродинамического сопротивления стержня от угла атаки

Элементарная сила лобового сопротивления и подъемная сила (действующие на малый элемент дуги $d\sigma$)

$$dR_x(k) = \frac{1}{2} C_x(\alpha) U^2 d\rho_f a d\sigma, \quad dR_y(k) = \frac{1}{2} C_y(\alpha) U^2 d\rho_f a d\sigma. \quad (5)$$

Силы гидродинамического сопротивления, действующие на весь криволинейный стержень, находятся интегрированием (5):

$$R_x(k) = \frac{1}{2} U^2 d\rho_f a \int_0^1 C_x(\alpha(k, x)) \sqrt{\frac{(k^2 - 1)x^2 + 1}{1 - x^2}} dx, \quad (6)$$

$$R_y(k) = \frac{1}{2} U^2 d\rho_f a \int_0^1 C_y(\alpha(k, x)) \sqrt{\frac{(k^2 - 1)x^2 + 1}{1 - x^2}} dx. \quad (7)$$

Перейдем к соответствующим безразмерным числам Ньютона (рис. 6):

$$Ne_x(k) = \frac{R_x(k)}{0,5U^2 d\rho_f a} = \int_0^1 C_x(\alpha(k, x)) \sqrt{\frac{(k^2 - 1)x^2 + 1}{1 - x^2}} dx, \quad (8)$$

$$Ne_y(k) = \frac{R_y(k)}{0,5U^2 d\rho_f a} = \int_0^1 C_y(\alpha(k, x)) \sqrt{\frac{(k^2 - 1)x^2 + 1}{1 - x^2}} dx,$$

$$K(k) = Ne_y(k) / Ne_x(k).$$

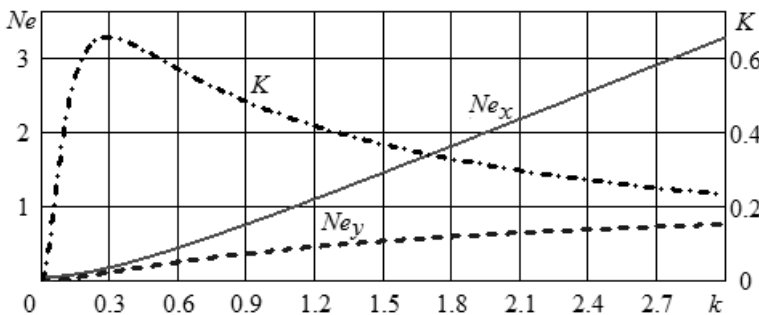


Рис. 6. Зависимость чисел Ньютона от параметра k



Найдем, при какой скорости потока U однородный криволинейный стержень в форме четверти эллипса, в положении, показанном на рисунке 1, будет находиться в состоянии равновесия. Условие равновесия: алгебраическая сумма моментов сил относительно оси Az , перпендикулярной плоскости рисунка 1, равна нулю:

$$M_z(R_x) + M_z(R_y) - (G - F_A)X_C = 0, \quad (9)$$

$$M_z(R_x) = \int_0^a (b - Y) dR_x, \quad M_z(R_y) = \int_0^a X dR_y. \quad (10)$$

Подставим (9) в (10) и преобразуем выражения (рис. 7):

$$M_z(R_x) = \frac{1}{2} U^2 da^2 \rho_f m_x(k), \quad M_z(R_y) = \frac{1}{2} U^2 da^2 \rho_f m_y(k), \quad (11)$$

$$m_x(k) = k \int_0^1 C_x(\alpha(k, x)) (1 - \sqrt{1 - x^2}) \sqrt{\frac{(k^2 - 1)x^2 + 1}{1 - x^2}} dx, \quad (12)$$

$$m_y(k) = \int_0^1 C_y(\alpha(k, x)) x \sqrt{\frac{(k^2 - 1)x^2 + 1}{1 - x^2}} dx, \quad M(k) = \frac{m_y(k)}{m_x(k)}. \quad (13)$$

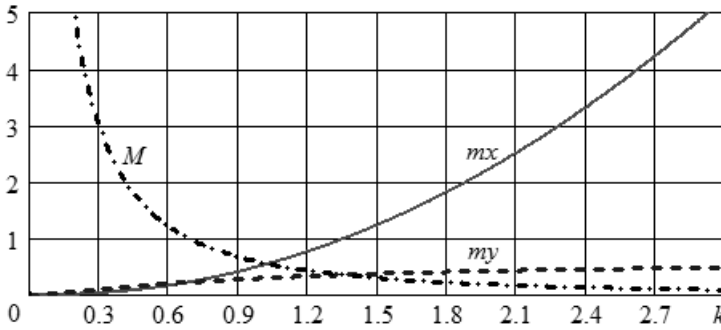


Рис. 7. Зависимость безразмерных гидродинамических моментов от k

С учетом (11)–(13) уравнение моментов (9) можно записать в безразмерной форме:

$$m_y(k) + my(k) - \frac{x_c(k)L(k)}{Fr_m(k)} = 0,$$

где

$$Fr_m = \frac{2\lambda U^2}{\pi(1 - \lambda)gd}.$$

Из уравнения (13) выразим модифицированное число Фруда, а по нему найдем скорость потока, обеспечивающую состояние равновесия (рис. 8):

$$Fr_m(k) = \frac{x_c(k)L(k)}{m_y(k) + my(k)}, \quad U(k) = \sqrt{Fr_m(k) \frac{\pi(1 - \lambda)gd}{2\lambda}}. \quad (14)$$

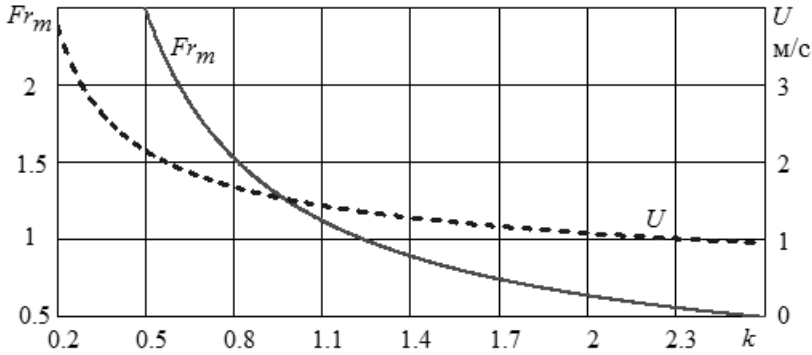


Рис. 8. Число Фруда и скорость потока, обеспечивающие состояние равновесия

Рассмотрим пример при следующих значениях размерных параметров задачи:

$$a = 1 \text{ м}; b = 2 \text{ м}; \rho_f = 1000 \text{ кг/м}^3; \rho_s = 4000 \text{ кг/м}^3; d = 0,04 \text{ м}; U = 1 \text{ м/с}.$$

Тогда

$$k_0 = \frac{b}{a} = 2, \quad \lambda = \frac{\rho_f}{\rho_s} = 0,25.$$

Безразмерная и размерная (м) длина дуги по формуле (2)

$$L(k_0) = 2,422, \quad Lr = aL(k_0) = 2,422 \text{ м}.$$

Вес криволинейного стержня в воде

$$Gw = \frac{\pi d^2}{4} Lr(1-\lambda)\rho_f g = 22,371 \text{ Н}.$$

Безразмерные и размерные координаты центра тяжести по формулам (4)

$$x_c(k_0) = 0,706, \quad y_c(k_0) = 1,140, \quad ax_c(k_0) = 0,706 \text{ м}, \quad ay_c(k_0) = 1,140 \text{ м}.$$

Средний по длине дуги угол атаки

$$\alpha_{cp}(k_0) = 62,8^\circ.$$

Числа Ньютона по (8):

$$Ne_x(k_0) = 2,417, \quad Ne_y(k_0) = 0,663, \quad K(k_0) = 0,262.$$

Составляющие силы гидродинамического сопротивления, действующие на весь криволинейный стержень (в Ньютонах) по (6) – (7):

$$R_x = 0,5U^2 d a \rho_f Ne_x(k_0) = 48,338 \text{ Н},$$

$$R_y = 0,5U^2 d a \rho_f Ne_y(k_0) = 25,306 \text{ Н}.$$

Безразмерные моменты сил гидродинамического сопротивления по формулам (12) – (13):

$$mx(k_0) = 2,274, \quad my(k_0) = 0,430, \quad M(k_0) = 0,189.$$



Размерные моменты сил гидродинамического сопротивления по формуле (11):

$$M_x = 45,48 \text{ Н}\cdot\text{м}, M_y = 8,61 \text{ Н}\cdot\text{м}.$$

Модифицированное число Фруда и скорость потока в равновесии по формуле (14):

$$Fr_m(k_0) = 0,603, U(k_0) = 1,08 \text{ м/с}.$$

Таким образом, предложенный метод расчета позволяет определить условия равновесия дуги в форме части эллипса, обтекаемой однородным потоком жидкости.

Список литературы

1. Петров К. П. Аэродинамика элементов летательных аппаратов. М., 1985.
2. Великанов Н. Л. Механика кошелькового лова рыбы. Калининград, 2001.
3. Норьков Е. С., Рудниченко А. А. Анализ особенностей распределения по длине корпуса сил сопротивления воды движению скоростного судна // Труды ЦНИИ им. акад. А. Н. Крылова. 2014. Вып. 82 (366). С. 139–146.
4. Великанов Н. Л., Наумов В. А. Гидродинамическое сопротивление систем из стержней и нитей : монография. Калининград, 2015.
5. Наумов В. А., Ахмедов И. М. Коэффициенты гидродинамического сопротивления цилиндрического стержня // Водопользование и задачи гидромеханики : сб. науч. тр. Калининград, 2015. С. 63–68.

Об авторах

Николай Леонидович Великанов – д-р техн. наук, проф., Балтийский федеральный университет им. И. Канта, Калининград.

E-mail: monolit8@yandex.ru

Владимир Аркадьевич Наумов – д-р техн. наук, проф., Калининградский государственный технический университет, Калининград.

E-mail: van-old@rambler.ru

Сергей Иванович Корягин – д-р техн. наук, проф., Балтийский федеральный университет им. И. Канта, Калининград.

E-mail: SKoryagin@kantiana.ru

About the authors

Prof. Nikolay Velikanov, I. Kant Baltic Federal University, Kaliningrad.

E-mail: monolit8@yandex.ru

Prof. Vladimir Naumov, Kaliningrad State Technical University, Kaliningrad.

E-mail: van-old@rambler.ru

Prof. Sergey Koryagin, I. Kant Baltic Federal University, Kaliningrad.

E-mail: SKoryagin@kantiana.ru